

## 工作簡報及經驗交流

### 小白鼠体温調節动态過程在 X 射線 致死劑量照射前后的變化

荆竺英 汪云九  
(中国科学院生物物理研究所)

#### 1. 引 言

放射病的形成是一个复杂的过程。按一般概念，細胞或組織分化愈高，似乎愈不易受到損傷，但从机体統一的观点着眼，損傷也可能首先涉及分化最高的神經系統。闡明放射病的形成過程是探索其发病机制的必要基础。而放射病的发展及其是否会引起机体死亡，则根据目前的科学水平，还很难給以推断；因此，寻找适当指标来解决这些預后問題，显得非常重要。

近年来已开始利用自動調節和反饋理論研究生物机体的活動規律。举例來說，植物性神經系統所調節的一些生理常数(如体温、血压、CO<sub>2</sub>浓度等)，在正常情況下常常維持在一定水平；当环境发生变化时，会偏离正常值，但經過調節仍会恢复到正常值或达到一个新的稳态值。根据这个动态過程，可以决定調節系統的特性，評定調節品質的好坏<sup>[1]</sup>。

本文以体温为研究对象，觀察照射前后的小白鼠，在体温調節系統上，品質是否有变化以及如何变化。我們的目的在于利用自動調節的原理，來探索放射病的形成和发展過程，一方面为放射病的診斷提供依据，另一方面也为放射病的預后积累資料。

#### 2. 材 料 和 方 法

以性成熟的雄性小白鼠(体重在 25 克以上)为实验材料。从动物房取来后，即飼养在 30℃ 恒温箱内，一周后开始进行实验。

实验时，用半导体測試头(2 毫米直径)深入直腸 25—30 毫米，然后通过电桥传感器和电子电位差自动記錄仪断續記錄，每隔 10 秒鐘打印一次，作为体温的記錄(記錄裝置見圖 1)；盛動物的容器為內徑 26 毫米、長 90 毫米开口的双壁玻璃管，玻璃夹层由恒温水箱不断打入 34℃ 恒温水，以維持恒定的环境温度，但当体温恒定时，立即換入 28℃ 恒温水。然后繼續記錄体温 15 分鐘(环境温度变化裝置見圖 2)，得出在环境温度阶跃变化下体温的反应曲綫。

正常健康动物經過三或四次实验后即用 X 射線进行照射(电压 180 千伏，电流 20 毫安，距

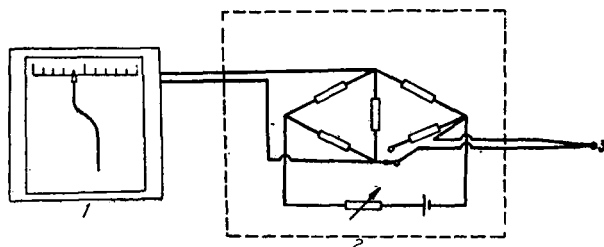


图 1 体温记录装置

1——电子电位差自动記錄仪；2——电桥；3——半导体測試头。

离 50 厘米, 无滤板, 共照 9 分 40 秒), 剂量为 1032 伦。在照射后的当天即试验动物的体温调节, 以后是每隔一天试验一次。

我们所观察的体温调节量的变化是从体温的反应曲线上得到的, 并以二种不同的方法来分析。

第一种方法是在曲线上取一些指标(见图 3):  $\delta$ ,  $t_{15'}$ ,  $t_{15''}$ ,  $\Delta t$ ,  $S_{10'}$ , 以及  $T$  为了观察上述指标在照射前后是否有显著性变化, 曾将照射前三或四次实验的平均值和照射后每隔一天的测定结果作比较, 并以 t 试验法作为对显著性的检验。

第二种方法是用最小二乘法以带有常数项和指数项的函数 ( $y = a_0 + a_1 e^{-a_2 t}$ ) 来逼近, 并从这个动态方程来探讨照射前后的变化。

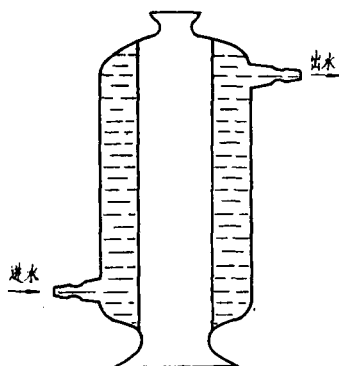


图 2 双壁玻璃管

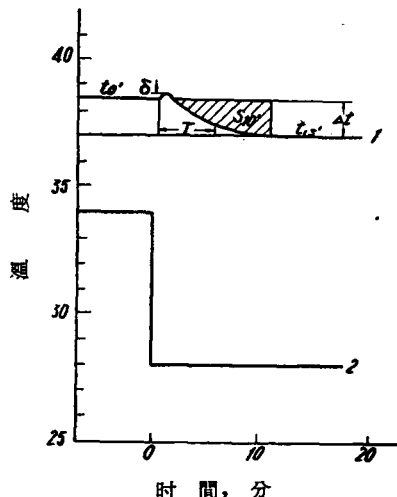


图 3 体温调节的一些指标

1—体温反应曲线; 2—环境温度刺激;  
 $\delta$ —超调高度;  $t_{10'}$ —在 34°C 水温下小白鼠的直肠的温度;  $t_{15'}$ —34°C 变换为 28°C 后 15 分钟时直肠的温度;  $\Delta t$ — $t_{15'} - t_{15''}$  即上两值之差;  $S_{10'}$ —34°C 变换为 28°C 后 10 分钟内体温反应曲线所包括的面积;  $T$ —体温变化 63%  $\Delta t$  时所需的时间(秒)。

### 3. 結 果

照射前(正常时), 小白鼠在环境温度自 34°C 变化为 28°C 的阶跃刺激下, 体温的反应一般是先有反向的小超调(即先有一个微小的上升), 然后又下降, 约 15 分钟到达另一新的稳态。

在动物受照射 1032 伦以后, 自第四天开始即陆续有死亡, 到第十天时全部死亡。

在照射后死去前, 对每只小白鼠均隔一天测量一次反应曲线。

从第一种分析方法得到的每只小白鼠在照射前三或四次反应曲线指标的平均值, 列于表 1。总的定量观察指标(根据当天存活动物的平均值)和体温试验的结果见表 2。

表 1 照射前(正常时)的调节指标的平均值

调节指标	$t_{10'}$	$t_{15'}$	$\Delta t$	$S_{10'}$	$T$ (秒)
平均值	$38.52 \pm 0.08$	$37.33 \pm 0.12$	$1.17 \pm 0.01$	$6.12 \pm 0.42$	$445 \pm 10$

表2 照射前后的体温调节指标

指标	正常 (照射前)	照射后, 天				
		照射后 4小时内	2	4	6	8
$t_{10'}$	38.52±0.08	38.36±0.10	38.56±0.09	38.45±0.09	38.34±0.37	37.85±0.47
$t_{10'}$	37.33±0.12	37.09±0.14	37.50±0.04	37.03±0.19	37.18±0.28	35.58±0.82*
$\Delta t$	1.17±0.01	1.29±0.01	1.06±0.01	1.43±0.01*	1.66±0.03*	2.28±0.09*
$S_{10'}$	6.12±0.42	6.61±0.66	5.55±0.33	7.14±0.48*	8.32±0.81	9.48±1.23*
$T$	445±10	473±24	431±18*	461±13	492±16*	537±13*
动物数	29	29	29	26	13	6

\* 表示与照射前比較有統計上的显著性差別。

从表2中可以看到一些指标值的变化，我們将在下面分別討論。

从調節的觀點看， $\Delta t$  是調節的偏移值，在同样的刺激下，調節的偏移值隨着照射后日期的增长而逐漸增大，这种增大并具有一定的迴歸現象，根据計算得到迴歸曲綫为：

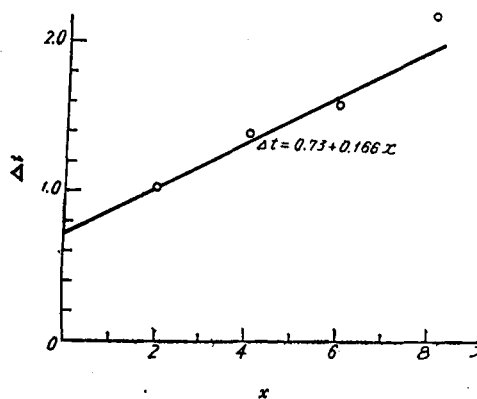
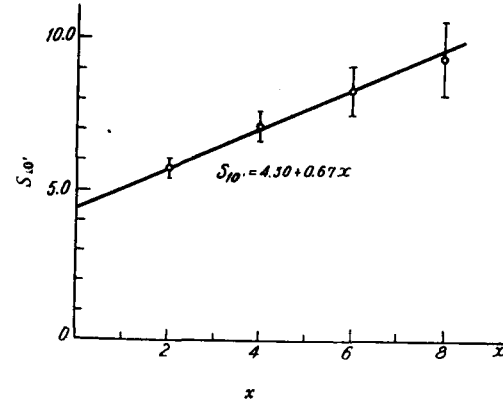
$$\Delta t = 0.73 + 0.17x, \quad (1)$$

且迴歸系数显著(图4)。这表示系統在照射后品質是变坏了。

$S_{10'}$  是“調節面積”\*，一般自動調節系統中常用調節面積作为評價系統品質的一種綜合指標，从我們的實驗結果中，可見到  $S_{10'}$  也和  $\Delta t$  一样隨着照射后日期的增长而出現迴歸現象，其迴歸曲綫为：

$$S_{10'} = 4.30 + 0.67x, \quad (2)$$

迴歸系数显著(图5)。这也意味着照射后隨日期的增长，調節品質愈变愈坏。

图4  $\Delta t$  在时间上的迴歸曲綫图5  $S_{10'}$  在时间上的迴歸曲綫

指标  $T$ ，我們叫它“時間常数”，这和真实的时间常数是有差别的。如果系統已知是一阶的，那么当时間等于  $T$  时，反应为 63%  $\Delta t$ ，这就是一阶系統真实的时间常数。但目前我們对这个系統的阶数尚不清楚，所以只能将到达 63%  $\Delta t$  所需的時間用引号的時間常数来表示。根据實驗結果， $T$  亦隨着照射后的時間而加大，并且体温試驗亦證明这增大是有意义的，这說明了照射对調節的反應速度也有很大的影响。

我們在實驗中也觀察了超調的变化，發現照射后大部分動物超調消失。由于超調面積較

\* 我們所觀察的  $S_{10'}$  是体温反應曲綫在  $t = 10'$  以前和初始条件下的穩態值之間所包括的面積，和自動調節原理所定義的積分指標有差別。

小我們沒有进行定量的計算，但作了克方检定，知道照射后超調的消失是具有意义的，統計結果列于表 3。

表 3 用克方检定照射前后超調的显著性

	有 超 調		无 超 調		总 數
	实計數	預期數	实計數	預期數	
照 射 前	19	13	10	16	29
照 射 后	7	13	22	16	29
总 数	26	26	32	32	58

$\chi^2 = 10.04$ , 查自由度为 1 时  $\chi^2_{0.01} = 6.64$ , 故此处  $\chi^2 = 10.04$  大于  $\chi^2_{0.01}$ , 亦即照射后超調消失是有意义的。同时經過計算，无超調在照射后比照射前增加 41%，它的 95% 置信区間为 16—67%。

此外，在环境温度为 34°C 时，其体温的标准离差在第七天和第九天比正常时增加很多，但沒有統計上的显著性差別，这說明了觀察照射后的变化，靜态生理指标不如动态过程明显。

第二种分析方法得到的結果和第一种方法相似。有六只小白鼠在照射后第九天还存活，这六只动物体温反应曲綫的平均逼近函数是：

$$\begin{aligned} \text{照射前} \quad & y = 37.54 + 1.33e^{-0.23t}, \\ \text{照射当天} \quad & y = 37.41 + 1.23e^{-0.25t}, \\ \text{照射后二天} \quad & y = 37.45 + 1.79e^{-0.20t}, \\ \text{照射后四天} \quad & y = 37.36 + 2.35e^{-0.19t}, \\ \text{照射后六天} \quad & y = 36.84 + 2.99e^{-0.21t}, \\ \text{照射后八天} \quad & y = 35.06 + 3.78e^{-0.35t}. \end{aligned}$$

函数在某一点的导数就是它在这一点的变化率，上述一項指数項的函数，在  $t = 0$  时的导数就是  $-a_1a_2$ （即函数中二个系数的乘积）。照射前后的变化如下：

$$\begin{aligned} \text{照射前} \quad & -a_1a_2 = -0.29, \\ \text{照射当天} \quad & -a_1a_2 = -0.32, \\ \text{照射后二天} \quad & -a_1a_2 = -0.41, \\ \text{照射后四天} \quad & -a_1a_2 = -0.45, \\ \text{照射后六天} \quad & -a_1a_2 = -0.70, \\ \text{照射后八天} \quad & -a_1a_2 = -1.94, \end{aligned}$$

由此可以看出，当  $t = 0$  时，即环境温度刚开始变化时，体温的变化率是随着照射后的日期逐漸加大的。

#### 4. 小 结

1. 照射致死剂量后，体温调节的动态过程某些指标的变化（如  $\Delta t$ ,  $S_{100}$ ,  $T$ ,  $y'|_{t=0}$  等）和靜态值 ( $t_0$ ) 的情况，使我們深信利用自动调节的原理来分析动态过程能阐明正常的调节机制和疾病轉变的过程。目前由于我們仅仅检定其品質，就反应曲綫上直接定出的一些指标來計算。但是要知道系統的組合环节，即系統在某一定刺激下的反应特性，并为进一步作出物理模拟，最好是写出数学函数式。第二种分析方法虽然也写出了过渡函数的方程，但我們把系統近似地作为一阶系統来处理，过渡函数选为一項指数（逼近时忽略超調部分），事实上这是作了很大的簡化，今后还需要用更精确的方法来逼近方能求出系統的近似解。

2. 超調  $\delta$  在体温调节上的意义虽然尚未最后肯定，但是体温调节由生热和散热两个系統所平衡是众所周知的。因此，超調可能是由于生热系統比散热系統敏感，并且效力較易达到最高点所致。假設照射后超調有变化（如图6所示），也說明照射后机体生热系統受到了影响。

3. 过去有些学者曾証明体温调节机制在照射X射线后24小时内就出現破坏。例如紐索姆(Newsom)和基梅耳多夫(Kimeldorf)<sup>[2]</sup>的实验証明照射后当天大白鼠和豚鼠对冷的抵抗能力即下降，并且对冷的抵抗程度是和照射剂量成反比的。又如康德拉特維娃(Кондратьева)<sup>[3]</sup>用兔子进行实验，也发现照射致死剂量后的当天，兔子对热的調节即有变化，尤其是散热时血管的舒张失調。此外，吉科文科(Диковенко)<sup>[4]</sup>用异体蛋白注入兔子引起升温反应，这种反应在照射后也有变化。从这些学者的結論来看，似乎辐射首先影响到調节机制。但根据我們的实验結果，可以知道动物在照射致死剂量后，体温调节的变化是在照射后的晚期，当动物已經开始死亡时才发生，因此很难肯定放射病的死亡是由調节上的变化直接引起的。因此可以設想，放射病是逐漸发展的，調節品質的变坏不是引起死亡的直接原因。动物的体力衰竭，能量的供应发生困难可能影响了調節和推动了放射病的发展。从动态指标的变化来看，照射后如能尽量維持恆定的适宜环境，将会減少体内稳态的負担，对机体就会有較好的保护效果。

本文承貝时璋先生指导，楊紀珂先生在数据处理上給予指教，王湘生同志协助制作电桥，石淑珍同志参加技术及实验工作，謹致謝意。

### 参考文獻

- [1] H. Drischel, Динамика регулирования вегетативных функций. Процессы регулирования в биологии, Стр. 125, 1960, Изд. иностранной литературы.
- [2] B. D. Newsom & D. J. Kimeldorf, The resistance of animals to acute cold exposure following X-irradiation, *Int. J. Rad. Biol.* 4, No. 2, 143—149 (1960).
- [3] И. Н. Кондратьева, Изменения физической терморегуляции после однократного общего облучения крыльев рентгеновыми лучами в дозе 1000 р., *Мед. радиол.* 3, No. 4, 8—15 (1958).
- [4] Е. А. Диковенко, О состоянии терморегуляции при экспериментальной лучевой болезни, *Патолог. физiol. и эксперим. терапия.* 4, No. 5, 62—63 (1960).

(编辑部收稿日期 1963年8月27日)

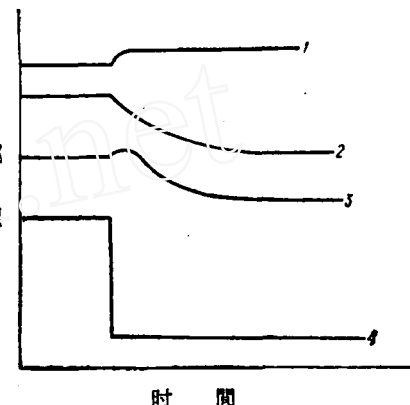


图6 体温调节的动力学过程

1—生热；2—散热；  
3—总的；4—刺激。